

361-46  
32

52

# Observations séismographiques

faites à

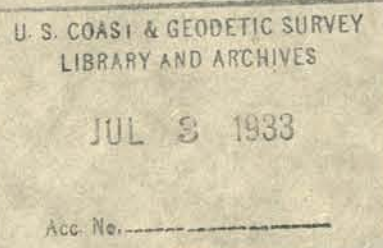
l'Observatoire météorologique  
d'Upsala

pendant les années 1930—1931

par

**Ernst Lindberg**

Coordonnées de la station séismographique :  
Lat.  $59^{\circ} 51' 29''$  N, Long.  $17^{\circ} 37' 37''$  E de Greenwich.



Publication de l'Observatoire météorologique de l'université d'Upsala

# Observations séismographiques

faites à

l'Observatoire météorologique  
d'Upsala

pendant les années 1930—1931

par

**Ernst Lindberg**

---

Coordonnées de la station séismographique:  
Lat. 59° 51' 29" N, Long. 17° 37' 37" E de Greenwich.

---

Publication de l'Observatoire météorologique de l'université d'Upsala

Dans ce qui suit, nous donnons un compte-rendu des perturbations séismiques qui ont été enregistrées au moyen du séismographe horizontal astatique, système Wiechert, appartenant à l'Observatoire météorologique d'Upsala pendant les années 1930—1931.<sup>1</sup>

Les constantes de l'appareil ont été vérifiées tous les quatre mois au moyen d'observations complètes, suivant la méthode habituelle.<sup>2</sup> En nous servant des signes de notation de M. Wiechert nous donnerons, dans le tableau suivant, les valeurs moyennes des constantes pour les années 1930—1931.

Année	Comp.	$T_0$	L	I	V	$\epsilon$	r	$\tau$
1930	N—S	8.9	19.9	3690	186	3.4	0.7	3.9
	E—W	8.7	19.1	3590	189	3.6	1.1	3.7
1931	N—S	8.5	18.0	3340	186	3.6	0.7	3.6
	E—W	8.9	19.7	3620	184	3.5	1.1	3.8

$T_0$  = temps, en secondes, d'une double oscillation du pendule sans amortissement, L = longueur du pendule isochrone et I = longueur de l'indicateur, en mètres, V = agrandissement pour des

<sup>1</sup> Pour tout ce qui concerne la disposition du séismographe, nous renvoyons à F. Åkerblom: Observations séismographiques faites à l'Observatoire météorologique d'Upsala de juillet à décembre 1906. Upsala 1913. Le séismographe a pour socle un pilier de granit reposant directement sur la roche primitive, qui se trouve à une profondeur variant entre 0.5 et 1 mètre au-dessous du sol de la cave. L'altitude est de 14.0 m. Dans la cave du séismographe, qui est située au-dessous du niveau du sol, on n'a pu constater ni variations dans la température d'une même journée, ni changements considérables de température d'un jour à l'autre. Des observations de la température et de l'état hygrométrique de la cage protectrice ont établi que la température variait pendant l'année, approximativement, de +4° C, en moyenne, pour le mois de février et de +12° C, en moyenne, pour le mois d'août, tandis que l'humidité relative variait entre 70 % et 80 %.

<sup>2</sup> Wiechert: Theorie der automatischen Seismographen (Abh. d. K. Ges. d. W. zu Göttingen, Math.-Phys. Kl. 1903, N. F., B. II, N:o 1).

périodes très courtes,  $\varepsilon$  = rapport de l'amortissement,  $r$  = déviation maximum due au frottement, en millimètres,  $\tau$  = temps de relaxation en secondes.

L'agrandissement  $W$  a été calculé pour chaque période  $T$  d'après la formule de Wiechert:

$$W = V : \sqrt{\left(1 - \frac{T^2}{T_0^2}\right)^2 + 4 \left(\frac{T_0}{2\pi\tau}\right)^2 \cdot \frac{T^2}{T_0^2}}.$$

La vitesse de déroulement des papiers enregistreurs a été, à peu près, de 15 mm. à la minute. Les minutes sont marquées par des interruptions de 3 secondes dans les courbes tracées. Les heures entières et les demi-heures sont marquées par des interruptions de 12 secondes.

#### Explication des signes:

P = première phase préliminaire (ondes longitudinales).

$PR_1$  (= PP),  $PR_2$  (= PPP), ... = première phase préliminaire réfléchie 1 fois, 2 fois, ... à la surface de la terre.

$P'$  (=  $\overline{P_cP_cP}$ ) = onde longitudinale, qui a traversé le noyau de la terre, la limite duquel se trouve à la profondeur de 2900 km environ.

S = seconde phase préliminaire (ondes transversales).

$SR_1$  (= SS),  $SR_2$  (= SSS), ... = seconde phase préliminaire réfléchie 1 fois, 2 fois, ... à la surface de la terre.

PS = ondes transformées, c'est-à-dire ondes séismiques réfléchies 1 fois à la surface de la terre avec changement des ondes longitudinales en ondes transversales ou vice versa.

PPS = ondes transformées, qui ont été réfléchies 2 fois à la surface de la terre et qui ont été pendant deux fractions du trajet d'un type longitudinal et pendant une fraction d'un type transversal.

Réflexion ou réfraction dans la limite extérieure du noyau de la terre sont désignées par un indice  $c$  entre les deux lettres en question du symbole, la réfraction étant marquée, en outre, par une barre au-dessus des deux lettres.

$\overline{S_cP_cS}$  = une onde, qui a été transversale dans le manteau et longitudinale dans le noyau.

#### Observations séismographiques

$\overline{S_cP_cP_cS}$  = une onde, transversale, comme la précédente, dans le manteau et longitudinale dans le noyau et qui, dans le noyau, a été réfléchie 1 fois sur la surface du noyau.

$\overline{S_cP_cS}P$  = une  $\overline{S_cP_cS}$  — onde, qui a été réfléchie 1 fois à la surface de la terre et qui, à la réflexion, a reçu un caractère longitudinal.

L = longues ondes, au début de la phase principale.

M = mouvement maximum dans la phase principale (différents maxima relatifs de la phase principale sont désignés par des indices joints à M).

$W_2$  = ondes superficielles, qui atteignent la station, après avoir passé par l'antipode.

$M[W_2]$  = mouvement maximum des ondes  $W_2$ .

$W_3$  = ondes superficielles, qui atteignent la station pour la seconde fois, après avoir passé par l'antipode et le foyer.

$M[W_3]$  = mouvement maximum des ondes  $W_3$ .

C = phase finale.

F = fin du mouvement perceptible.

i = début très marqué d'une phase ou déviation brusque apparaissant pendant la durée d'une phase.

e = début peu marqué d'une phase.

T = période = durée d'une double oscillation en secondes.

A = amplitude du mouvement du sol comptée de la position d'équilibre.

$A_E$  = composant de A dans la direction de l'E—W.

$A_N$  = » » » » » du N—S.

Heure = heure moyenne de Greenwich comptée de minuit à minuit.

$\mu$  = micron = 0.001 mm.

( ) = incertain.

$\Delta$  = distance épcentrale en kilomètres.

Les tables de C. ZEISSIG ont été employées à calculer les distances épcentrales de moins de 10000 kilomètres et celles de B. GUTENBERG pour les distances épcentrales plus grandes.

i et e se mettent, dans les cas extrêmes, devant le signe distinctif de la phase, mais peuvent, lorsque le caractère de la phase est incertain, être employés comme symboles indépendants. Lorsque P ou S, dans ce cas, ne sont pas combinés avec un e,

on suppose que le temps donné est aussi le vrai début de cette phase. Le commencement de la phase principale, sur l'enregistrement, est toujours marqué par eL.

Dans les tableaux des mouvements microséismiques, nous avons indiqué, pour chaque jour, le maximum du mouvement microsismique observé entre 6h. 45 m. et 7h. 15 m. du matin.

Par les bons soins de l'Observatoire astronomique, l'état de l'horloge contact du séismographe a toujours été vérifié à l'aide de comparaisons faites par un assistant de l'Observatoire astronomique, qui, pour sa part, a contrôlé ses horloges d'après les émissions radiotélégraphiques internationales.

### Tremblements de terre enregistrés. 1930.

Date 1930	Phase	Heure (Greenwich)	Période T	Amplitude		Remarques
				A <sub>E</sub>	A <sub>N</sub>	
Janvier 5	e F	1 39 39 2.3				Troublé par des mouvements microséismiques.
» 5	eP e(L) <sub>N</sub> M <sub>N</sub> F	19 3 18 32 37 50 19.8	22		6	Id.
» 16	—	0 11-15				Quelques faibles ondes.
» 18	eL <sub>N</sub> F	7 59 8.2				
Février 2	eP <sub>N</sub> eS SR <sub>N</sub> eL <sub>E</sub> eL <sub>N</sub> M <sub>N</sub> M <sub>E</sub> F	15 6 (54) 15 (54) 21 13 27 31 38 17 39 48 16.2	20	11	16	eP <sub>N</sub> et eS sont troublées par l'interruption marquant la minute. $\Delta = 7600$ km. Épicentre aux îles Aléoutiennes.
» 8	e <sub>N</sub> M <sub>N</sub> F	6 46 56 9 7.1	13		2	
» 14	iP <sub>N</sub> eS iS SR <sub>I</sub> M <sub>E</sub> M <sub>N</sub> F	18 43 23 47 32 47 37 48 13 52 13 54 56 19.1	8 10	10	6	Troublé par des mouvements microséismiques. $\Delta = 2550$ km. Ressenti dans l'île de Crète. Phase principale faible.
» 23	eP <sub>N</sub> eS M <sub>E</sub> M <sub>N</sub> F	18 23 50 27 53 1 32 1 33 8 18.9	13 9	23	15	$\Delta = 2470$ km. Ressenti en Grèce et dans l'île de Crète.
Mars 1	—	6 1-4				
» 6	(e) <sub>E</sub> e <sub>E</sub> F	0 1 38 2.0 0 6				Quelques faibles ondes sur la composante N-S recouvertes par des microséismes.

Date 1930	Phase	Heure (Greenwich)	Période T	Amplitude		Remarques
				A <sub>E</sub>	A <sub>N</sub>	
Mars 6	eL F	8 37.0 8.7	s	μ	μ	Troublé par des microséismes.
» 6	e(P) eS F	9 23 57 28 11 9.7				Id. $\Delta = 2610$ km. Épicentre dans la Mer Egée.
» 6	eL <sub>N</sub> F	16 55 17.2				
» 10	eP <sub>N</sub> iS iPS F	16 36 57 44 42 45 46 17.0				$\Delta = 6160$ km. Épicentre dans la Mer d'Okhotsk? Pas de phase principale prononcée.
» 26	e <sub>E</sub> e <sub>E</sub> e eL <sub>N</sub> eL <sub>E</sub> M <sub>N</sub> M <sub>E</sub> F	7 30.9 36.9 39.9 8 1 4 12 52 17 53 9.6	25 24	15 40		
» 30	e eL <sub>N</sub> F	15 52.9 16 11.4 16.6				
» 31	eP eS eL M <sub>E</sub> M <sub>N</sub> F	12 38 29 42 16 45.6 46 19 48 48 13.2	4 9	17 16		$\Delta = 2280$ km. Ressenti à Volo (Grèce).
Avril 2	—	20 55.59				Quelques faibles ondes longues.
» 5	eL <sub>N</sub> F	12 1 12.3				
» 9	eP eS F	5 33 11 37 29 5.8				$\Delta = 2660$ km. Épicentre en l'Armenie. Pas de phase principale prononcée.
» 10	e <sub>N</sub> eL <sub>N</sub> M <sub>N</sub> M <sub>E</sub> F	14 43 45.5 47 31 49 14 15.0	9 13	4 3		
» 17	eP eS eL <sub>E</sub> M <sub>E</sub> M <sub>N</sub> F	20 11 36 15 36 19 19 58 21 56 20.7	14	22 9		$\Delta = 2440$ km. Épicentre en Grèce.

Date 1930	Phase	Heure (Greenwich)	Période T	Amplitude		Remarques
				A <sub>E</sub>	A <sub>N</sub>	
Avril 21	—					
» 21	eL F	12 55 13.5				
» 23	e(S) eL M <sub>N</sub> M <sub>E</sub> F	22 9.9 22 29 13 29 38 23.3		20 18 14	17	
» 24	eL F	1 3 1.4				
» 26	eP <sub>N</sub> eS SR <sub>1N</sub> SR <sub>2</sub> eL <sub>E</sub> eL <sub>N</sub> M <sub>N</sub> M <sub>E</sub> F	16 29 11 38 9 43 25 45 56 49 52 17 1 43 2 3 18.0		20 19 26	32	$\Delta = 7560$ km. Épicentre aux îles Aléoutiennes.
» 28	e(P) <sub>E</sub> eS <sub>E</sub> eL <sub>N</sub> M <sub>N</sub> M <sub>E</sub> F	18 45 11 53 38 19 7 10 15 14 56 19.9		18 13 4	22	$\Delta = 6960$ km. Épicentre en Birmanie.
» 30	i e	16 28 49 29 31				Seulement ces deux phases.
Mai 1	eP eS eL <sub>N</sub> M <sub>N</sub> M <sub>E</sub> F	1 9 27 18 52 35 41 26 44 46 2.2		17 17 3	4	eP faible. $\Delta = 8100$ km. Épicentre au Japon?
» 2	e F	6 24 12 6.6				
» 5	eP eS eL M <sub>N</sub> M <sub>E</sub> F	13 56 (59) 14 5 (59) 23 34 50 37 37 17.5		17 15 105	278	eP et eS troublés par l'interruption marquant la minute. $\Delta = 7600$ km. Tremblement destructeur en Birmanie (Rangoon).
» 6	e eL F	7 9 59 18 7.5				

Date 1930	Phase	Heure (Greenwich)	Période T	Amplitude		Remarques
				A <sub>E</sub>	A <sub>N</sub>	
Mai 6	eP PR <sub>1</sub> iS SR <sub>1</sub> eL M <sub>1</sub> M <sub>SX</sub> F	22 40 12 41 (0) 45 (4) 46 22 47 50 4 52 20	s 21	μ 1100	μ 1280 440	PR <sub>1</sub> et iS troubés par l'interruption marquant la minute. $\Delta = 3120$ km. Tremblement destructeur en Perse (Ourmia).
» 7	—	14 39				Quelques faibles ondes sur la composante N-S.
» 8	eN	14 40 28				
» 8	eL F	14 51				La fin est recouverte par le tremblement de terre suivant.
» 8	eL <sub>N</sub> F	15 20 15.5				
» 8	eP PR <sub>1</sub> eS eL M <sub>N</sub> M <sub>E</sub> F	15 41 8 42 (0) 45 49 50.0 52 43 53 11	14 15	38	28	eP faible. PR <sub>1</sub> troubé par l'interruption marquant la minute. $\Delta = 2970$ km.
» 9	e(P) <sub>E</sub> eS M <sub>N</sub> M <sub>E</sub> F	7 13 15 17 39 27 45 29 21	12 15	2	1	e(P) faible. $\Delta = 2740$ km. Épicentre en Asie Mineure.
» 10	—					De 21 <sup>h</sup> 58 <sup>m</sup> à 22 <sup>h</sup> 3 <sup>m</sup> , quelques faibles ondes.
» 11	eP PR <sub>1</sub> eS <sub>E</sub> M <sub>N</sub> M <sub>E</sub> F	22 43 27 45 (1) 49 38 23 5 18 7 34	14 11	2	2	eP faible. PR <sub>1</sub> troubé par l'interruption marquant la minute. $\Delta = 4420$ km. Épicentre dans le Golfe de Perse.
» 12	eP PR <sub>1</sub> eS <sub>E</sub> eS <sub>N</sub> M <sub>N</sub> F	0 28 53 30 31 34 57 35 (1) 53 52	9	1		eS <sub>N</sub> troubé par l'interruption marquant la minute. $\Delta = 4290$ km. Épicentre en Perse.
» 14	eL <sub>N</sub> F	20 15 20.5				Quelques faibles ondes.
» 18	eL F	1 2 1 10				Id.

## Observations séismographiques

11

Date 1930	Phase	Heure (Greenwich)	Période T	Amplitude		Remarques
				A <sub>E</sub>	A <sub>N</sub>	
Mai 19	eL F	4 19 4.6		μ —	μ —	Id.
» 19	iP M <sub>N</sub> M <sub>E</sub> F	15 25 25 47 38 54 45 16.2	17 13	2	3	
» 20	eP <sub>N</sub> eS SR <sub>1N</sub> eL M <sub>N</sub> M <sub>E</sub> F	11 25 55 34 42 39 41 49 55 8 56 19 12.7	21 22	13	12	$\Delta = 7350$ km. Épicentre aux îles Aléoutiennes.
» 21	e(P) <sub>E</sub> e <sub>N</sub> F	22 15 43 21 10 22.6				Enregistrement très faible.
» 23	e eL F	9 59 10 3 10 10				
» 23	e(P) <sub>N</sub> iS F	16 49 48 59 1 17.5				e(P) <sub>N</sub> très faible. $\Delta = 7860$ km. Épicentre au Japon. Pas de phase principale prononcée.
» 24	—	22 10-14				Quelques ondes très faibles.
» 29	e F	17 30 17.7				Troublé par des mouvements microsismiques.
» 31	eP eS <sub>N</sub> e(L) F	18 9 47 19 (4) 38 19.0				eS <sub>N</sub> troubé par l'interruption marquant la minute. $\Delta = 7940$ km. Épicentre au Japon. Pas de phase principale prononcée.
Juin 4	e(P) <sub>E</sub> — M <sub>N</sub> F	7 33 53 — 45 27 8.0	10	1		Changement des feuilles.
» 4	e <sub>S</sub> e e(L) <sub>N</sub> F	10 13 58 19 31 44 11.0				Enregistrement très faible.
» 5	e <sub>N</sub> e(L) <sub>E</sub> M <sub>N</sub> F	12 5 32 42 54 52 13.4	22	5		
» 11	e <sub>N</sub> e e	1 9 17 19.1 26.1				

Date 1930	Phase	Heure (Greenwich)	Période T	Amplitude		Remarques
				A <sub>E</sub>	A <sub>N</sub>	
Juin 11	eLN M <sub>E</sub> M <sub>N</sub> F	37 55 39 59 52 3.2	23 21	30	25	
* 13	ePN eSN eLN M <sub>N</sub> F	1 4 59 14 1 22 37 54 2.1	19		3	eS <sub>N</sub> faible et incertain. ( $\Delta = 7640$ km.) Épicentre aux îles Aléoutiennes.
* 19	eLN F	13 57 14.7				Enregistrement très faible.
* 25	—	11 530				Quelques ondes longues et faibles.
* 25	—	12 41.45				Quelques faibles ondes sur la composante E-W.
* 25	eN eE e(L)N e(L)E M <sub>N</sub> M <sub>E</sub> F	21 47 38 49 3 22 5 13 22 30 24 19 23.2	19	5	4	
Juillet 1	—					De 1 <sup>h</sup> 33 <sup>m</sup> à 2 <sup>h</sup> 0 <sup>m</sup> , quelques faibles ondes sur la composante N-S.
* 2	iPE PR <sub>1E</sub> PR <sub>2E</sub> S i(PS)N eLN M <sub>1N</sub> M <sub>2N</sub> M <sub>E</sub> F	21 13 43 16 8 17 27 21 48 22 6 32 37 50 41 33 45 39 23.0	11	33	61	$\Delta = 6530$ km. Épicentre en Assam.
* 5	—	23 25.32				Quelques faibles ondes sur la composante N-S.
* 7	e F	13 56 25 14 (30)				
* 13	eP iSN SR <sub>1E</sub> eL M <sub>N</sub> M <sub>E</sub> F	19 36 38 44 (10) 48 27 56 57 38 20 0 34 20.8	11 10	9	28	iS <sub>N</sub> troublé par l'interruption marquant la minute. $\Delta = 5920$ km. Épicentre en Chine (Kan-Sou).
* 14	ePE eS eL M <sub>N</sub>	22 53 21 23 3 53 16.2 27 56	22	22		ePE très faible. $\Delta = 9430$ km. Épicentre en Amérique Centrale.

## Observations séismographiques

13

Date 1930	Phase	Heure (Greenwich)	Période T	Amplitude		Remarques
				A <sub>E</sub>	A <sub>N</sub>	
Juillet 14	M <sub>E</sub>	28	59	21	18	
» 15	F	1.0				
» 22	iP eS eL M <sub>N</sub> M <sub>E</sub> F	19 36 40 45 24 20 0 5 40 6 52 20.7	18	5	9	$\Delta = 7290$ km. Épicentre aux îles Kouriles.
» 23	eP iN iS eL M <sub>E</sub> M <sub>N</sub> F	0 12 58 13 6 16 30 18.1 20 1 22 3 2.0	13	120	270	$\Delta = 2100$ km. Tremblement de terre destructeur en Italie méridionale.
» 23	eN F	5 31 56 5.7				Enregistrement très faible.
Août 4	e	5 26 32 27 25				Seulement ces deux phases.
» 8	—	0 30.40				Quelques faibles ondes.
» 17	—	10 16.18				Quelques ondes très faibles sur la composante N-S.
» 17	eP PR <sub>1E</sub> eS eLN M <sub>N</sub> M <sub>E</sub> F	12 37 8 38 44 43 14 52 13 0 36 2 49 13.3	12	1		eS faible. $\Delta = 4330$ km. Épicentre dans le Golfe de Perse.
» 18	eN e eN ex eLE eLN M <sub>N</sub> M <sub>E</sub> W <sub>2N</sub> F	10 13 50 19 17 23 49 35.0 43 45 53 34 59 6 11 57.0 12.5	32	22	44	
» 20	ePE eS SR <sub>2</sub> eL M <sub>E</sub> M <sub>N</sub> F	21 5 48 15 27 24 20 30 35 3 36 21 22.7	23	44	134	$\Delta = 8380$ km. Épicentre aux îles Riu-Kiu.

Date 1930	Phase	Heure (Greenwich)	Période T	Amplitude		Remarques
				A <sub>E</sub>	A <sub>N</sub>	
		h m s	s	μ	μ	
Août 22	e <sub>N</sub> M <sub>E</sub> F	10 7.0 10 27 10 15	10	0.5		
* 23	eP PR <sub>1</sub> iS SR <sub>1</sub> SR <sub>2</sub> M <sub>N</sub> M <sub>E</sub> F	11 0 (58) 2 31 7 6 9 (58) 10 (58) 19 55 21 18 11.9				eP, SR <sub>1</sub> et SR <sub>2</sub> troubés par l'interruption marquant la minute. Δ = 4370 km. Épicentre en Perse.
* 24	e <sub>N</sub> M <sub>N</sub> F	11 23 33 26 33 11.6	15		3	
Sept. 1	—	5 53:59				Quelques ondes très faibles sur la composante N-S.
* 1	eP <sub>E</sub> e(S) <sub>N</sub> (SR <sub>1</sub> ) eL <sub>N</sub> M <sub>N</sub> M <sub>E</sub> F	17 51 45 58 41 18 2 11 5 9 32 10 18 18.6				(Δ = 5250 km.)
* 2	e eL F	19 7 29 20 19.6				Enregistrement très faible.
* 11	iP iS <sub>N</sub> SR <sub>1</sub> eL M <sub>E</sub> M <sub>N</sub> F	12 41 (57) 46 25 47 12 50 53 18 54 0 13.4				iP troubé par l'interruption marquant la minute. Δ = 2790 km. Épicentre en Asie Mineure.
* 12	—	8 31:37				Quelques faibles ondes.
* 12	e(L) F	9 35 9.7				Enregistrement très faible.
* 13	—	20 19:24				Quelques faibles ondes.
* 14	e <sub>N</sub> i F	17 35.0 35 24 17 37				Enregistrement très faible.
* 21	eP <sub>E</sub> eS SR <sub>1E</sub> SR <sub>2N</sub> eL M <sub>N</sub>	23 14 47 23 19 27 24 30 13 36 39 54	18		71	Δ = 7050 km. Épicentre en Birmanie.

Date 1930	Phase	Heure (Greenwich)	Période T	Amplitude		Remarques
				A <sub>E</sub>	A <sub>N</sub>	
Sept. 21	M <sub>E</sub>	h m s	s	μ	μ	
* 22	F	43 41	16	19		
* 22	e <sub>N</sub> F	1 51 13 3.7				Enregistrement faible.
* 22	—	5 30:37				Quelques ondes très faibles sur la composante N-S.
* 22	eP eS i <sub>N</sub> i <sub>N</sub> eL <sub>N</sub> M <sub>N</sub> M <sub>E</sub> F	14 29 24 37 46 38 10 39 41 51 54 46 59 19 15.4				Δ = 6860 km. Épicentre en Birmanie.
* 22	eE e <sub>N</sub> eL <sub>N</sub> M <sub>N</sub> M <sub>E</sub> F	16 35 23 41.9 47 49 37 50 36 17.2			2	3
* 24	e eL <sub>N</sub> F	12 30 56 56 13.5				
* 25	eL <sub>N</sub> F	19 9 19.4				Troublé par des mouvements microsismiques.
* 29	e <sub>N</sub> e(L) <sub>N</sub> F	13 54 58 14.1				
* 30	eE eL <sub>N</sub> M <sub>N</sub> M <sub>E</sub> F	21 50 55 22 13 18 28 29 20 23.2			5	11
Octobre 2	e F	15 53 16.2				
* 7	—	23 33:38				Quelques faibles ondes.
* 8	e i <sub>N</sub> eL M <sub>E</sub> M <sub>N</sub> F	10 40 46 41 49 11 16 33 42 34 36 12.8			5	11
* 9	e <sub>N</sub> F	21 57.9 22.1				Enregistrement très faible.

Date 1930	Phase	Heure (Greenwich)	Période T	Amplitude		Remarques
				A <sub>E</sub>	A <sub>N</sub>	
Oct. 10	eL <sub>N</sub> F	h m s 1 12 1.4	s	μ	μ	Id.
» 11	iP <sub>N</sub> eS <sub>N</sub> eL <sub>N</sub> M <sub>N</sub> M <sub>E</sub> F	3 10 21 13 33 14.9 16 39 17 14 3.6	19 14	8	2	Δ = 1870 km. Épicentre près de l'île de Yan Mayen.
» 16	eL F	22 17.4 22.5				
» 17	e <sub>N</sub> e <sub>S</sub> eL <sub>N</sub> F	9 6 37 16 6 49 10.2				
» 23	eL <sub>N</sub> F	10 3 10.5				Enregistrement très faible.
» 24	eP <sub>N</sub> PR <sub>1</sub> iS <sub>C</sub> P <sub>C</sub> S SeP <sub>C</sub> P <sub>C</sub> S	20 28 10 31 50 38 41 39 5 39 13 39 26 58 21 9 56 10 25 23.0	17 18	61		Δ = 10110 km. Région épicentrale: les îles Mariannes.
» 25	e(L) <sub>N</sub> F	12 38 12.9				Enregistrement très faible.
» 28	eL <sub>N</sub> M <sub>N</sub> F	21 56 22 6 9 22.7	19	6		Troublé par des mouvements microsismiques.
» 30	eP <sub>N</sub> iS eL <sub>E</sub> M <sub>E</sub> M <sub>N</sub> F	7 16 56 19 59 21 23 15 24 0 7.8	8 10	9	26	Troublé par des mouvements microsismiques. Δ = 1780 km. Tremblement de terre en Italie (Ancone).
» 31	eL F	11 20 12.0				Ressenti en Danemark.
» 31	e i F	23 19 10 19 23 23 20.3				Enregistrement troublé par des mouvements microsismiques.
Nov. 4	eL <sub>N</sub> F	16 12 16.4				Enregistrement faible.

Date 1930	Phase	Heure (Greenwich)	Période T	Amplitude		Remarques
				A <sub>E</sub>	A <sub>N</sub>	
Nov. 8	P <sub>E</sub> iS F	h m s 3 38 51 44 22 4.0	s	μ	μ	Troublé par des mouvements microsismiques. Δ = 3720 km. Épicentre en Perse. Pas de phase principale.
» 9	e e e <sub>N</sub> eL M <sub>N</sub> M <sub>E</sub> F	19 34.0 41 20 51 11 53 59 11 20 12 47 21.7	35 24	106		Troublé par des mouvements microsismiques.
» 10	e <sub>E</sub> eL M <sub>N</sub> M <sub>E</sub> F	14 18.0 37 56 28 57 32 15.2	17 17	5	4	Id.
» 17	—	13 3·15				Quelques ondes longues et faibles.
» 21	iP <sub>N</sub> eS eL M <sub>E</sub> M <sub>N</sub> F	2 4 54 8 36 11 12 25 15 56 2.7	23	47	8	Δ = 2220 km. Épicentre en Albanie. Dégâts à Valona.
» 25	eP iS <sub>E</sub> iS <sub>N</sub> eL M <sub>1</sub> M <sub>2N</sub> M <sub>3N</sub> F	19 14 24 23 54 23 (59) 39 45 4 49 18 53 36 21.7	18	89	75 56 62	iS <sub>N</sub> troublé par l'interruption marquant la minute. Δ = 8200 km. Tremblement destructeur au Japon.
» 28	e <sub>N</sub> e(L) <sub>E</sub> F	7 57 8 14 8.7				Enregistrement faible.
Déc. 2	eL M <sub>N</sub> M <sub>E</sub> F	7 35 36 46 41 12 7.9	22 11	1	17	Troublé par des mouvements microsismiques.
» 3	eP iP <sub>E</sub> PR <sub>1E</sub> PR <sub>3E</sub> iS SR <sub>1N</sub> SR <sub>1E</sub> SR <sub>2N</sub> SR <sub>2E</sub> eL M <sub>N</sub>	19 2 49 2 53 4 (57) 6 (57) 11 49 16 14 16 26 19 36 19 46 25 30 5	30	1158		Id. PR <sub>1E</sub> et PR <sub>3E</sub> troublés par l'interruption marquant la minute. Δ = 7600 km. Tremblement destructeur en Birmanie.

Date 1930	Phase	Heure (Greenwich)	Période T	Amplitude		Remarques
				A <sub>E</sub>	A <sub>N</sub>	
Déc. 3	M <sub>E</sub> F	h m s 21.6 36 1	s 15	μ	μ	
» 6	eL <sub>N</sub> F	7 41 7.9				
» 8	eL <sub>N</sub> M <sub>N</sub> F	8 41 42 44 9.2	17		8	
» 8	—					De 18 <sup>h</sup> 50 <sup>m</sup> à 19 <sup>h</sup> 5 <sup>m</sup> , quelques ondes longues et faibles sur la composante N-S.
» 10	eP eS SR <sub>N</sub> eL M <sub>N</sub> M <sub>E</sub> F	10 36 51 41 6 42 3 46 49 38 50 18 11.2	14 12	6	5	Troublé par des mouvements microsismiques. $\Delta = 2620$ km. Épicentre en l'Armenie. Dégâts à Erzindjan.
» 21	iP iS e(L) <sub>N</sub> M <sub>E</sub> F	15 3 16 12 (58) 24 43 21 16.0	14	1		iS troublé par l'interruption marquant la minute. $\Delta = 8430$ km. Épicentre à l'île Formose. La phase principale peu prononcée.
» 22	eL F	0 34 1.2				Enregistrement faible, troublé par des mouvements microsismiques.
» 22	eL <sub>N</sub> F	5 1 5.3				Id. Id.

Mouvements microséismiques à 7<sup>h</sup>. 1930.

Date	Janvier		Février		Mars		Avril		Mai		Juin	
	T	A <sub>N</sub>	T	A <sub>N</sub>	T	A <sub>N</sub>	T	A <sub>N</sub>	T	A <sub>N</sub>	T	A <sub>N</sub>
1	4	0.5	5	0.6	5	2.0	5	0.4	—	< 0.4	—	—
2	6	0.4	5	0.4	6	0.9	5	0.4	—	—	—	—
3	4	0.4	4	0.7	6	1.0	6	< 0.4	—	< 0.4	—	—
4	7	1.1	—	< 0.4	6	0.9	6	< 0.4	—	< 0.4	—	—
5	4	0.9	—	< 0.4	5	0.6	—	< 0.4	—	< 0.4	—	—
6	5	1.0	4	< 0.4	4	0.9	—	—	—	6	< 0.4	—
7	4	0.4	5	< 0.4	6	0.6	—	—	—	—	—	—
8	5	0.6	tr.	—	5	0.8	—	< 0.4	—	< 0.4	—	< 0.4
9	5	0.6	—	< 0.4	5	0.6	—	< 0.4	—	—	—	< 0.4
10	5	0.6	5	0.4	5	0.4	4	0.7	—	—	4	< 0.4
11	5	0.8	6	1.0	4	0.4	5	0.4	—	—	—	< 0.4
12	7	0.9	7	1.1	5	< 0.4	5	0.4	—	5	< 0.4	—
13	6	0.8	6	1.0	5	0.4	5	0.4	4	< 0.4	6	< 0.4
14	5	0.6	6	2.3	5	0.4	5	< 0.4	4	< 0.4	—	—
15	5	0.6	6	1.5	4	< 0.4	—	< 0.4	—	—	—	—
16	4	0.7	6	0.6	5	0.6	—	< 0.4	—	< 0.4	—	—
17	5	1.1	5	0.4	5	< 0.4	—	< 0.4	—	—	—	—
18	5	0.6	5	0.4	6	0.4	5	0.4	—	—	—	—
19	6	0.9	6	0.6	6	0.4	5	< 0.4	5	0.4	—	—
20	6	1.0	6	0.6	6	< 0.4	—	< 0.4	—	< 4.0	—	—
21	6	2.7	6	0.4	5	0.6	5	0.4	—	—	—	—
22	5	1.2	6	0.4	5	0.4	—	< 0.4	—	—	—	< 0.4
23	6	1.0	6	0.6	5	< 0.4	4	< 0.4	—	< 0.4	—	—
24	6	0.4	4	0.4	—	< 0.4	5	< 0.4	—	< 0.4	—	—
25	—	< 0.4	6	< 0.4	4	< 0.4	4	< 0.4	5	< 0.4	—	—
26	6	0.4	5	< 0.4	5	0.4	4	< 0.4	—	< 0.4	4	< 0.4
27	4	0.7	5	0.4	5	< 0.4	—	< 0.4	—	4	< 0.4	—
28	4	0.4	6	1.0	6	< 0.4	—	—	5	< 0.4	—	—
29	6	0.4	—	—	5	0.4	—	—	5	0.4	5	0.4
30	7	0.5	—	—	5	< 0.4	—	—	5	0.6	6	1.0
31	7	0.4	—	—	6	0.4	—	< 0.4	—	—	5	0.6

tr. = tremblement de terre.

## Observations séismographiques

21

	Juillet		Août		Septembre		Octobre		Novembre		Décembre		Date
	T	A <sub>N</sub>	T	A <sub>N</sub>	T	A <sub>N</sub>	T	A <sub>N</sub>	T	A <sub>N</sub>	T	A <sub>N</sub>	
	—	—	—	—	3	< 0.4	5	0.4	6	1.0	6	0.6	1
	—	—	—	—	—	< 0.4	4	< 0.4	6	1.0	7	0.9	2
	—	—	—	—	4	< 0.4	4	0.4	4	0.4	7	0.9	3
	—	—	—	< 0.4	—	< 0.4	4	< 0.4	5	< 0.4	6	1.0	4
	—	—	—	—	—	< 0.4	—	—	5	< 0.4	6	1.0	5
	—	—	4	< 0.4	4	< 0.4	4	< 0.4	5	< 0.4	5	0.6	6
	—	—	3	< 0.4	—	< 0.4	5	0.4	—	< 0.4	5	0.4	7
	—	—	4	< 0.4	—	< 0.4	4	0.7	6	0.9	5	< 0.4	8
	—	—	—	< 0.4	—	< 0.4	—	5	0.6	6	1.5	4	9
	4	< 0.4	—	—	—	< 0.4	4	0.5	5	1.0	5	0.4	10
	—	—	—	—	—	< 0.4	—	5	0.4	6	2.0	5	< 0.4
	—	—	—	—	—	< 0.4	—	5	0.8	5	1.0	4	0.7
	—	—	—	—	—	< 0.4	—	5	0.6	6	2.6	5	< 0.4
	—	—	—	—	—	< 0.4	4	< 0.4	5	0.4	6	2.1	7
	—	—	—	—	—	< 0.4	—	6	0.6	—	< 0.4	8	0.9
	—	—	4	< 0.4	—	< 0.4	4	< 0.4	5	0.6	5	0.6	14
	—	—	—	—	—	< 0.4	—	5	0.4	5	1.0	5	0.4
	—	—	3	< 0.4	—	< 0.4	4	< 0.4	5	0.4	5	1.0	5
	—	—	—	—	—	< 0.4	—	5	0.4	5	0.8	—	< 0.4
	—	—	—	—	—	< 0.4	—	5	0.6	—	< 0.4	8	0.5
	—	—	—	—	—	< 0.4	4	< 0.4	5	0.6	—	< 0.4	19
	—	—	—	—	—	< 0.4	4	< 0.4	5	0.6	5	0.4	20
	—	—	—	—	—	< 0.4	—	5	0.4	5	1.0	5	0.4
	—	—	—	—	—	< 0.4	—	5	0.4	5	1.0	5	0.4
	—	—	—	—	—	< 0.4	—	5	0.4	5	0.7	5	0.8
	—	—	—	—	—	< 0.4	—	—	—	< 0.4	4	0.7	22
	—	—	—	—	—	< 0.4	4	< 0.4	—	< 0.4	5	0.4	4
	—	—	—	—	—	< 0.4	4	< 0.4	—	< 0.4	5	0.4	4
	—	—	—	—	—	< 0.4	—	—	—	< 0.4	5	0.4	23
	—	—	—	—	—	< 0.4	—	—	—	< 0.4	5	0.4	4
	—	—	—	—	—	< 0.4	—	—	—	< 0.4	5	0.4	24
	—	—	—	—	—	< 0.4	—	—	—	< 0.4	6	0.4	4
	—	—	—	—	—	< 0.4	—	—	—	< 0.4	6	0.4	25
	—	—	—	—	—	< 0.4	—	—	—	< 0.4	6	0.4	26
	—	—	—	—	—	< 0.4	—	—	—	< 0.4	6	0.6	27
	—	—	—	—	—	< 0.4	—	—	—	< 0.4	5	0.4	28
	—	—	—	—	—	< 0.4	—	—	6	0.6	4	0.4	28
	—	—	—	—	—	< 0.4	—	—	5	0.4	5	0.4	29
	—	—	—	—	—	< 0.4	—	—	5	0.4	6	1.0	—
	—	—	—	—	—	< 0.4	—	—	5	0.6	5	0.4	30
	—	—	—	—	—	< 0.4	—	—	5	0.6	5	0.4	31

### Tremblements de terre enregistrés. 1931.

Date 1931	Phase	Heure (Greenwich)	Période T	Amplitude		Remarques
				A <sub>E</sub>	A <sub>N</sub>	
Janvier 2	en	0 14 20				Troublé par des mouvements microsismiques.
	ee	14 23				
	eL	34				
	M <sub>N</sub>	41 15	19	14	11	
	M <sub>E</sub>	41 43	16			
	F	1.0				
	i(S) <sub>E</sub>	10 12 (59)				
	eL	29				
	M <sub>N</sub>	39 10	14	6		
	M <sub>E</sub>	42 50	17	12		
» 4	F	11.5				Id. i(S) <sub>E</sub> troublé par l'interruption marquant la minute.
	eP <sub>N</sub>	0 5 43				
	eS	9 43				
	eL <sub>E</sub>	12				
	M <sub>E</sub>	13 56	13	13		
	M <sub>N</sub>	16 44	10			
	F	0.6				
	i(S) <sub>E</sub>	19 31-34				
	eP <sub>N</sub>	15 11 12				
	eS	15 28				
» 12	M <sub>N</sub>	22 36	10	*	1	$\Delta = 2640$ km. Épicentre en Asie Mineure.
	F	15.6				
	eP <sub>N</sub>	20 44 25				
	eS	52 46				
	eL <sub>E</sub>	21 8				
	eL <sub>N</sub>	10				
	M <sub>E</sub>	11 23	19	5		
	M <sub>N</sub>	15 20	21			
	F	21.7				
	iP	2 3 30				
» 15	PR <sub>1N</sub>	6 50				$\Delta = 9310$ km. Trémblement destructeur au Mexique. (Oaxaca).
	PR <sub>1E</sub>	6 54				
	iS	13 56				
	iPS	14 51				
	SR <sub>1</sub>	19 58				
	SR <sub>2</sub>	24 2				
	SR <sub>3</sub>	26 37				
	eL <sub>N</sub>	28				
	eL <sub>E</sub>	33				

Date 1931	Phase	Heure (Greenwich)	Période T	Amplitude		Remarques
				A <sub>E</sub>	A <sub>N</sub>	
Janvier 15	M <sub>1E</sub>	2 36 21	30	531		
	M <sub>N</sub>	38 22	19			
	M <sub>2E</sub>	40 55	25	370		
	F	5.2				
» 15	e	21 43	s			
	M <sub>N</sub>	50 8	13			
	M <sub>E</sub>	50 11	13	20		
	F	22.2				
» 15	eLN	23 38				
	M <sub>E</sub>	47 45	23	8		
	F	24.0				
» 16	e(S)	19 43	30			
	eL	20 5				
	F	20.5				
» 17	e(P) <sub>N</sub>	3 2 50				
	eS	13 13				
	eL <sub>E</sub>	27				
	eLN	29				
	M <sub>E</sub>	36 25	18	8		
	M <sub>N</sub>	39 49	16			
	F	4.2				
» 20	ePE	9 34 45				
	i <sub>E</sub>	37 32				
	eS	40 47				
	(SR <sub>2</sub> )	43 56				
	M <sub>N</sub>	45 49	8			
	F	10.1				
» 24	e(S) <sub>E</sub>	14 4 40				
	eL <sub>N</sub>	29				
	F	15.0				
» 27	ePE	20 19 41				
	PR <sub>2E</sub>	23 33				
	PR <sub>3E</sub>	24 30				
	iS	28 5				
	i(PS)	28 53				
	SR <sub>1E</sub>	32 30				
	SR <sub>2N</sub>	35 2				
	SR <sub>3</sub>	36 13				
	eLN	40				
	eLE	41				
	M <sub>N</sub>	45 24	14	490		
	M <sub>E</sub>	48 31	15	272		
	F	23.0				
» 28	eP	5 59 27				
	eS	6 2 59				
	eL	6.4				
	M <sub>N</sub>	8 24	10			
	M <sub>E</sub>	9 37	11	3		
	F	6.4				

$\Delta = 6900$  km.  
Épicentre dans le nord de la Birmanie.

$\Delta = 2100$  km.  
Tremblement de terre en Albanie.  
Dégâts à Koritza.

Troublé par des mouvements microsismiques.

Id.

Id.

e(P)<sub>N</sub> faible.  
 $(\Delta = 9240$  km.).  
Épicentre en Californie.

$\Delta = 4260$  km.  
Épicentre à Pamir.  
Ressenti à Tachkent.

Date 1931	Phase	Heure (Greenwich)	Période T	Amplitude		R e m a r q u e s
				A <sub>E</sub>	A <sub>N</sub>	
Janvier 28	e <sub>N</sub>	h	m	s	μ	Δ = 11000 km. Région épicentrale: Iles Carolines.
	PR <sub>1</sub>	21	40	56		
			41	46		
	SePeS		48	29		
	PS		50	35		
	SR <sub>1</sub>		55	37		
	eL	22	7			
	M <sub>N</sub>		14	1	32	
	M <sub>E</sub>		17	4	27	
	F	24.0			130	
Février 2	eP'N	23	6	45		Δ = 17200 km. Tremblement destructeur à la Nouvelle Zélande (Napier, Hastings).
	PR <sub>1</sub>		10	59		
	SePeS		14	5		
	SePePeS		17	6		
	SePeSP		20	59		
	PPS		24	16		
	SR <sub>1N</sub>		30	24		
	eL <sub>E</sub>		54			
	eL <sub>N</sub>		55			
	M <sub>E</sub>	0	13	45	22	
» 3	M <sub>N</sub>		14	53	21	143
	M <sub>S</sub> E		20	28	20	
	F		2.3			
» 10	eL <sub>N</sub>	1	56			136
	F	2.3				
» 10	e	6	58			
	F	9.5				
» 12	eL <sub>N</sub>	6	32			
	F	7.2				
» 13	SePeSP	2	1	(3)		Troublé par des mouvements microsismiques. Tremblement destructeur à la Nouvelle Zélande. Réplique du séisme du 2 février.
	PPS		4	(3)		
	PSS		9	(3)		
	SR <sub>1</sub>		10	43		
	eL		35			
	M <sub>E</sub>	3	9	23	22	
	M <sub>N</sub>		22	17	20	
	F		4.7			
	SePeS	14	22	52		
	eL		45			
» 14	M <sub>N</sub>		53	19	24	20
	M <sub>E</sub>	15	1	11	18	
	F		15.5			
					9	
» 16	eP	18	59	40		Troublé par des mouvements microsismiques.
	eL	19	26			
	M <sub>E</sub>		33	17	17	
	F	20.0			7	

Date 1931	Phase	Heure (Greenwich)	Période T	Amplitude		Remarques
				A <sub>E</sub>	A <sub>N</sub>	
Février 19	e <sub>E</sub>	h 18	m 4	s 18	s	16
	eL <sub>N</sub>			27		
	M <sub>N</sub>		34	37	24	
	M <sub>E</sub>		39	50	21	
	F	19.0				
					8	
» 20	iP	5	43	23		$\Delta = 6610 \text{ km.}$ Épicentre en Sibérie, près de Wladiwostok.
	i		44	44		
	iS		51	32		
	i		52	37		
	i		53	53		
	M <sub>N</sub>	6	17	20	18	
» 27	M <sub>E</sub>					10
	F	6.8				
	i <u>S<sub>E</sub>P<sub>E</sub>S</u>	10	1	42		
	i <u>S<sub>E</sub>P<sub>E</sub>P<sub>E</sub>S</u>		2	26		
	SR <sub>1</sub>		9	27		
	eL <sub>N</sub>		23			
Mars 2	M <sub>N</sub>		31	34	24	10
	M <sub>E</sub>		36	38	27	
	F	11.0				
	eP' <sub>E</sub>	2	38	0		
	ePR <sub>1</sub>		40	32		
	i <u>P<sub>E</sub>P<sub>E</sub>S</u>		41	22		
» 7	S <sub>E</sub> P <sub>E</sub> SP		50	35		Région épacentrale: Nouvelle Calédonie.
	SR <sub>1</sub>		58	24		
	eL	3	19			
	F		4.3			
	P	0	21	4		
	S		24	31		
» 7	eL <sub>E</sub>		25.8			$\Delta = 2040 \text{ km.}$ Tremblement destructeur en Yougo-Slavie. (Macédoine).
	eL <sub>N</sub>		27.1			
	M <sub>E</sub>		28	52	10	
	M <sub>N</sub>		29	47	7	
	F	1.0				
					25	
» 8	eL <sub>E</sub>	1	14			13
	F	1.9				
	iP	1	54	39		
	iS		58	(9)		
	eL <sub>E</sub>		59.1			
	eL <sub>N</sub>	2	0.6			
» 9	M <sub>1E</sub>		1	39	12	iS est troublé par l'interruption marquant la minute. $\Delta = 2080 \text{ km.}$ Tremblement destructeur en Yougo-Slavie. (Macédoine).
	M <sub>2E</sub>		2	39	10	
	M <sub>1N</sub>		2	46	10	
	M <sub>2N</sub>		4	22	7	
	F		3.5			
					194	
» 9	P	4	0	(15)		109 73
	PR <sub>1</sub>		2	43		
	PR <sub>2</sub>		4	37		
	iS		9	19		
» 9	P					$\Delta = 7680 \text{ km.}$
	PR <sub>1</sub>					
	PR <sub>2</sub>					
	iS					

Date 1931	Phase	Heure (Greenwich)	Période T	Amplitude		Remarques
				A <sub>E</sub>	A <sub>N</sub>	
Mars 9	iPS <sub>E</sub> iPPS <sub>N</sub> SP <sub>1E</sub> eL M <sub>N</sub> M <sub>1E</sub> M <sub>2E</sub> F	h m s 9 44 9 59 14 1 20 33 6 33 19 34 32	s — — 18 19 16	μ — — 360 464 260 6.5	μ — — — — — — —	Tremblement destructeur au nord du Japon.
» 11	PR <sub>1</sub> S SR <sub>1</sub> eLE M <sub>E</sub> M <sub>N</sub> F	12 42 44 49 38 55 29 13 10 15 15 15 25 14.1	18 18	11 11	— — — — — — —	Δ = 9500 km. Épicentre dans l'Océan Pacifique.
» 12	eLN M <sub>N</sub> F	11 27 35 18 12.1	16	4	— — —	Ou quelques faibles ondes sur la composante N—S.
» 15	—	17 15-19	—	—	—	Ou quelques faibles ondes sur la composante N—S.
» 18	e <sub>N</sub> (SR <sub>1</sub> ) <sub>N</sub> eLE M <sub>N</sub> M <sub>E</sub> F	8 30 38 37 57 9 13 7 16 14 10.6	19 17	47	33	Troublé par des mouvements microsismiques.
» 18	e(P) <sub>E</sub> SePeS eS i <sub>N</sub> eL M <sub>N</sub> M <sub>E</sub> F	20 26 50 37 20 37 53 38 40 56 21 5 10 8 54 22.0	23 27	23	24	Troublé par des mouvements microsismiques. Δ = 10100 km.
» 19	ePE PR <sub>1</sub> PR <sub>2</sub> eS <sub>2</sub> eL <sub>2</sub> M <sub>N</sub> M <sub>E</sub> F	6 37 18 40 32 42 29 47 14 7 5 12 20 16 30 8.1	16	19	— — — — — — — —	Δ = 8710 km. Épicentre à l'ouest de l'île Luçon.
» 28	eP' <sub>E</sub> PR <sub>1E</sub> SePeS PPS <sub>E</sub> SR <sub>1N</sub> eLN M <sub>N</sub> M <sub>E</sub> F	12 56 13 57 16 13 3 28 7 23 12 12 26 36 42 51 29 14.3	21	7	25	Troublé par des mouvements microsismiques. Δ = 12000 km.

## Observations séismographiques

Date 1931	Phase	Heure (Greenwich)	Période T	Amplitude		Remarques
				A <sub>E</sub>	A <sub>N</sub>	
Mars 29	eP iS iPS F	18 2 41 11 32 12 28 18.8	—	— — — —	— — — —	Δ = 7420 km. Épicentre dans la Mer du Japon. Pas de phase principale.
» 31	—	16 54-59	—	—	—	Quelques faibles ondes sur la composante E—W.
Avril 3	e(P) <sub>N</sub> i e eL F	23 37 35 41 (4) 43 41 57 0.3	—	— — — —	— — — —	Pas de phase principale prononcée.
» 4	—	—	—	—	—	—
» 6	eLE F	7 49 8.4	—	—	—	—
» 8	eLE F	20 1 20.4	—	—	—	—
» 9	iP eS M <sub>N</sub> F	23 12 14 21 12 46 39 24.0	16	—	—	Δ = 7560 km. Épicentre au Japon (Yesso).
» 12	eLN F	3 12 3.5	—	—	—	—
» 15	ee eLN F	17 5 37 15 17.5	—	—	—	—
» 19	e F	2 50 3.5	—	—	—	—
» 20	eLE M <sub>E</sub> M <sub>N</sub> F	20 47 48 35 50 31 21.0	15 10	2	1	—
» 22	e <sub>N</sub> eL F	0 26.1 1 12 1.7	—	—	—	—
» 24	(PR <sub>1</sub> ) SePeS SR <sub>1</sub> SR <sub>2</sub> eLE M <sub>1N</sub> M <sub>E</sub> M <sub>2N</sub> F	17 42 13 47 45 58.1 18 3.1 12 26 44 34 15 34 46 19.5	—	—	—	Δ = 13000 km. Épicentre aux îles Salomon.
» 26	eLN F	4 59 5.3	—	—	—	Enregistrement très faible.

Date 1931	Phase	Heure (Greenwich)	Période T	Amplitude		Remarques
				A <sub>E</sub>	A <sub>N</sub>	
Avril 26	e M <sub>N</sub> F	h m s 6 38 (4) 46 25 6.9	s 13	μ 2	μ	Id.
» 27	iP iPR <sub>1</sub> iPR <sub>2</sub> iS SR <sub>1E</sub> iSR <sub>1N</sub> M <sub>1N</sub> M <sub>1E</sub> M <sub>2N</sub> M <sub>2E</sub> F	16 56 25 57 9 57 16 17 1 17 2 32 2 36 5 40 7 33 7 43 9 33 18.6				Δ = 3120 km. Tremblement destructeur en Transcaucasie.
Mai 1	e(L) <sub>N</sub> F	23 13 23.5				
» 6	eL <sub>N</sub> F	16 26 16.5				
» 6	—	17 46 52				Quelques faibles ondes.
» 12	iP iS eL F	1 47 36 56 (3) 2 13 2.7				Δ = 6960 km. Épicentre en Kamtchatka.
» 12	eE M <sub>N</sub> F	10 31 28 45 9 11.1	11	2		
» 16	PR <sub>1E</sub> eSE F	21 3 47 11 (3) 21.8				Δ = 9700 km. Épicentre dans le Golfe de Tehuantepec.
» 17	eE eN M <sub>N</sub> F	15 29 21 34 40 42 15.8	14	1		
» 20	iP iPR <sub>1</sub> iS iSR <sub>1</sub> eL M <sub>1N</sub> M <sub>1E</sub> M <sub>2E</sub> M <sub>2N</sub> M <sub>3E</sub> M <sub>3N</sub> F	2 29 7 29 53 34 3 35 36 37 40 2 16 40 14 20 41 59 16 42 46 13 43 15 14 44 27 13 6.0				Δ = 3180 km. Épicentre dans l'Océan Atlantique du Nord. Ressenti au Portugal, en Espagne, au Maroc et à l'île Madère.

Date 1931	Phase	Heure (Greenwich)	Période T	Amplitude		Remarques
				A <sub>E</sub>	A <sub>N</sub>	
Mai 24	e(L) <sub>N</sub> F	1 1 1.3				
» 28	ePx eSe eL F	18 44 39 53 31 19 11 19.7				Δ = 7440 km. Épicentre aux îles Kouriles.
Juin 1	eN F	12 52 13.3				
» 2	eS M <sub>N</sub> F	2 57 53 3 16 56 3.5	9		0.4	
» 7	ePE iE iN eN iS eL M <sub>E</sub> M <sub>N</sub> F	0 27 44 27 53 28 28 29 21 29 36 30.8 31 35 31 46 0.9				Δ = 1040 km. Épicentre dans la Mer du Nord.
» 9	ePx eS F	12 24 52 33 26 13.2				Ressenti en Angleterre, en Hollande, en Belgique et en France.
» 9	PR <sub>1</sub> e(L) F	14 15 15 3 15.5				eS très faible. Δ = 7090 km. Épicentre près du Kamtchatka.
» 9	eL <sub>N</sub> F	17 23 18.2				
» 17	eP eS eL F	12 21 14 30 (27) 51 13.2				eS est troublé par l'interruption de la demi-heure. Δ = 7860 km. Tremblement de terre au Japon. Ressenti à Tokio.
» 18	ePE eSE M <sub>N</sub> F	13 7 45 15 16 28 19 13.7	12		1	Δ = 5900 km. Épicentre au Thibet.
» 22	e eL <sub>N</sub> F	16 40 47 56 17.2				
» 23	eP eSE SePeS eL <sub>N</sub> M <sub>N</sub> M <sub>E</sub> F	6 26 29 35 56 36 11 53 59 45 7 1 50 7.6			9	Δ = 8140 km. Épicentre au Japon.

Date 1931	Phase	Heure (Greenwich)	Période T	Amplitude		Remarques
				A <sub>E</sub>	A <sub>N</sub>	
Juillet 5	e(L) F	h m s 7 15 7.5	s	μ	μ	
" 5	e <sub>N</sub> F	18 8 36 18.3				
" 12	eP <sub>E</sub> SePeS S PS <sub>N</sub> eL M <sub>N</sub> M <sub>E</sub> F	16 58 20 8 47 9 (10) 9 58 27 33 39 42 44 18.3	22 15	6	13	Δ = 9820 km. Épicentre aux îles Philippines.
" 12	e <sub>N</sub> eL <sub>E</sub> M <sub>E</sub> F	22 29 36 37 43 22.8	11	2		
" 15	eP eS <sub>E</sub> eL <sub>E</sub> M <sub>E</sub> M <sub>N</sub> F	16 36 29 44 13 54 58 5 17 3 29 17.6	24 17	18	8	Δ = 6140 km. Épicentre dans la Mer d'Okhotsk?
" 18	iP <sub>N</sub> eS ePS i (SePeS) eL M <sub>E</sub> M <sub>N</sub> F	11 34 9 42 29 42 50 43 56 44 17 55 12 3 43 5 30 12.6	19	6	10	Δ = 6820 km. Épicentre en Kamtchatka.
" 20	e eL <sub>N</sub> F	8 53.2 9 37 9.9				
" 21	eP' ePR <sub>1N</sub> i(PePeS) eSePePeS F	3 55 43 58 51 59 1 4 4 49 5.0				Δ = 15000 km. Épicentre dans l'Océan Pacifique, à l'est de la Nouvelle-Calédonie. Pas de phase principale.
" 23	ePR <sub>1</sub> e(PR <sub>2</sub> ) i e(SePePeS) F	14 40 20 42 28 45 (16) 47 27 15.5				Δ = 12500 km. Épicentre dans l'Océan Pacifique, à l'est de la Nouvelle Guinée. Pas de phase principale.
" 25	—	13 15.19				Quelques faibles ondes sur la composante N-S.

## Observations séismographiques

31

Date 1931	Phase	Heure (Greenwich)	Période T	Amplitude		Remarques
				A <sub>E</sub>	A <sub>N</sub>	
Juillet 29	—	h m s 17 44.49	s	μ	μ	Id.
Août 2	iP eS	23 39 34 47 27				Δ = 6310 km. Épicentre dans la Mer d'Okhotsk? Pas de phase principale, seulement P et S.
" 6	iP e M <sub>N</sub> M <sub>E</sub> F	18 24 26 26 10 40 40 41 21 9.0	6	2	I	
" 7	e(P) <sub>E</sub> e(P') iPR <sub>1</sub> ePR <sub>2E</sub> eSePeS ePS eSR <sub>1E</sub> eSR <sub>1N</sub> eSR <sub>2E</sub> eL <sub>E</sub> eL <sub>N</sub> M <sub>1N</sub> M <sub>E</sub> M <sub>2N</sub> F	2 25 56 30 7 30 43 33 7 36 42 40 0 46 6 46 10 50 34 55 56 3 10 5 17 21 17 33 5.2	21	51		Δ = 12500 km. Épicentre dans l'Océan Pacifique, à l'est de la Nouvelle Guinée.
" 8	e <sub>E</sub> e <sub>N</sub> eL <sub>N</sub> M <sub>N</sub> F	9 4 7 16 18 50 9.5	12	2		
" 10	eP <sub>E</sub> <sub>I</sub> iP <sub>I</sub> iP <sub>II</sub> iP <sub>III</sub> iPR <sub>1, I</sub> iPR <sub>1, II</sub> iPR <sub>1, III</sub> iS <sub>I</sub> iS <sub>II</sub> iS <sub>III</sub> SR <sub>1, III</sub> M F	21 26 37 26 42 27 1 27 (14) 28 23 28 41 28 54 32 59 33 16 33 31 36 (12) 42.53 1.8	E-W = = 8-10s N-S = = 10-12s	350	730	Δ <sub>I</sub> = 4540 km., Δ <sub>II</sub> = 4500 km., Δ <sub>III</sub> = 4540 km. Épicentre dans la partie nord-ouest de la Mongolie (Monts Altaï).
" 11	e F	23 39 23 55				
" 11	e F	1 56 2.2				Quelques faibles ondes.
" 11	e F	3 43 47 3 55				Id.

Date 1931	Phase	Heure (Greenwich)		Période T	Amplitude		Remarques
		A <sub>E</sub>	A <sub>N</sub>		μ	μ	
Août 11	e e M <sub>N</sub> M <sub>E</sub> F	7 20 52 25 43 29 31 29 59 7.8		10 13	2	I	
» 13	e <sub>N</sub> e(P) eL <sub>N</sub> F	22 27 31 28 57 23 25 0.1					
» 14							
» 15	e <sub>E</sub> e <sub>E</sub> F	4 8 29 11 (11) 4.4					
» 16	e <sub>N</sub> M <sub>N</sub> M <sub>E</sub> F	2 22 26 39 28 26 2.7		8 7	I	I	
» 16	eP PR <sub>1</sub> PR <sub>2</sub> eS (SR <sub>1</sub> ) SR <sub>2</sub> eL M <sub>1N</sub> M <sub>E</sub> M <sub>2N</sub> F	11 52 24 55 17 57 15 12 2 11 7 (7) 11 (7) 16 19 12 26 23 52 16 29 43 13 13.1					eS, SR <sub>1</sub> et SR <sub>2</sub> troublés par l'interruption marquant la minute. $\Delta = 8540$ km. Épicentre dans la partie ouest du Texas.
» 18	eP eL M <sub>E</sub> M <sub>N</sub> F	9 51 44 58 10 1 23 1 28 10.2		9 7	0.4	I	
» 18	eP iP iPR <sub>1</sub> PR <sub>2</sub> iS <sub>N</sub> M <sub>N</sub> M <sub>E</sub> F	14 28 59 29 3 30 36 31 (8) 35 18 44 17 46 45 16.5		11 10	180	270	PR <sub>2</sub> troublé par l'interruption marquant la minute. $\Delta = 4570$ km. Du même foyer que le tremblement du 11 août 1931.
» 18	e <sub>S</sub> F	18 4 18.6					
» 24	e F	2 24 2.5					
» 24	eP <sub>E</sub> iP iPR <sub>1</sub>	21 43 35 43 38 45 29					$\Delta = 5050$ km.

## Observations séismographiques

Date 1931	Phase	Heure (Greenwich)		Période T	Amplitude		Remarques
		A <sub>E</sub>	A <sub>N</sub>		μ	μ	
Août 24	iPR <sub>2</sub> (PcS) <sub>E</sub> S eSR <sub>1</sub> (SeS) eL M <sub>N</sub> M <sub>1E</sub> M <sub>2E</sub> W <sub>2</sub> M[W <sub>2</sub> ] <sub>E</sub> W <sub>3</sub> M[W <sub>3</sub> ] <sub>E</sub> F			45 57 49 8 50 20 53 32 53 46 59 22 3 34 4 35 7 7 23 58 0 1 27 1 0 2 44 I.I			Épicentre en Béloutchistan.
» 25	e <sub>E</sub> eLE M <sub>E</sub> F	3 24 45 35.5 37 51 3.7		13 17 13 14	I		
» 25	—	19 20-25					Quelques faibles ondes.
» 26	e e(L) <sub>N</sub> M <sub>N</sub> M <sub>E</sub> F	11 11 13 16 14 16 42 11.5		10 10	I	I	
» 26	e <sub>N</sub> e(L) <sub>N</sub> M <sub>E</sub> F	19 55 58 20 1 17 20.2		12	I		Enregistrement très faible.
» 27	eP <sub>N</sub> iP PR <sub>1</sub> i(PcS) <sub>E</sub> iS iSR <sub>1</sub> M <sub>N</sub> M <sub>1E</sub> M <sub>2E</sub> F	15 35 29 35 31 37 13 38 6 42 17 45 30 55 59 56 59 58 45 19.4					$\Delta = 5100$ km.
» 28	e <sub>N</sub> M <sub>E</sub> F	1 3 13 44 1.4		15	2		Tremblement destructeur en Béloutchistan.
» 28	e <sub>N</sub> e <sub>N</sub> F	20 3 7 20.3					
Sept. 6	e(P) <sub>E</sub> ePR <sub>2E</sub> eS <sub>N</sub> SR <sub>1N</sub>	8 8 6 9 12 12 57 14 36					Troublé par des mouvements microsismiques. $\Delta = 3110$ km.

Date 1931	Phase	Heure (Greenwich)	Période T	Amplitude		Remarques
				A <sub>E</sub>	A <sub>N</sub>	
Sept. 6	eLN	17				Épicentre dans l'Océan Atlantique du Nord.
	M <sub>N</sub>	22 24	13			
	M <sub>E</sub>	24 4	13	2		
	F	8.9				
» 6	e <sub>S</sub>	14 55				
	eLN	59				
	M <sub>N</sub>	15 2 16	14			
	F	15.2				
» 8	eP	19 20 29				$\Delta = 8510$ km. Épicentre dans l'Océan Pacifique, au sud du Japon.
	eS <sub>E</sub>	30 15				
	eL	52				
	M <sub>N</sub>	55 24	15			
» 9	M <sub>E</sub>	58 23	16	1		$\Delta_I = 9410$ km., $\Delta_{II} = 9380$ km. Région épcentrale: les îles Mariannes.
	F	20.4				
	eP <sub>I</sub>	20 51 7				
	eP <sub>II</sub>	52 5				
» 11	PR <sub>I</sub>	54 48				
	PR <sub>II</sub>	55 37				
	SePeSt <sub>I</sub>	21 1 16				
	S <sub>N</sub>	1 38				
» 11	SePeSt <sub>II</sub>	2 14				Deux tremblements de terre, l'indice I se rapporte à l'un de ces tremblements et l'indice II à l'autre.
	iS <sub>II</sub>	2 34				
	iPS <sub>I</sub>	2 (52)				
	iPS <sub>II</sub>	4 0				
» 12	SR <sub>I</sub>	7 40				
	eL	20				
	M <sub>1E</sub>	27 21	25	10		
	M <sub>2E</sub>	31 3	17	8		
» 16	M <sub>N</sub>	32 9	18			
	F	22.2				
	—	14 48-52				
	—	13 25-32				
» 19	—	8 37-47				Quelques ondes très faibles sur la composante N-S. eS troublé par l'interruption marquant la minute. $\Delta = 2330$ km. Ressenti en Grèce.
	—	—				
	—	—				
	—	—				
» 21	ee	2 3 25				
	eL	21				
	F	2.7				
	—	—				
» 21	—	—				Quelques ondes très faibles. Id.
	—	—				
	—	—				
	—	—				
» 21	eP	2 31 27				
	iS	40 50				
	ePS	41 27				
	eSR <sub>1</sub>	45 56				
» 21	eL	57				Tremblement destructeur au Japon.
	M <sub>E</sub>	3 5 36	15	15		

Date 1931	Phase	Heure (Greenwich)	Période T	Amplitude		Remarques
				A <sub>E</sub>	A <sub>N</sub>	
Sept. 21	M <sub>N</sub>	6 21	13			
	F	4.0				
» 21	eP	10 39 5				eP faible, iS <sub>E</sub> troublé par l'interruption marquant la minute.
	iS <sub>E</sub>	48 (50)				
	iPS <sub>E</sub>	49 27				
	eL	11 6				$\Delta = 8490$ km.
	M <sub>N</sub>	11 20	15			Ressenti à Hong-kong.
	M <sub>E</sub>	15 1	12			
	F	12.0				
» 25	P <sub>E</sub>	6 12 (51)				P <sub>E</sub> troublé par l'interruption marquant la minute.
	PR <sub>1E</sub>	16 25				
	i <sub>E</sub>	17 6				
	SePeSt <sub>E</sub>	23 22				$\Delta = 9950$ km.
	iS <sub>E</sub>	23 47				
	iS <sub>N</sub>	23 (51)				Épicentre au sud de l'île Sumatra.
	iPS <sub>N</sub>	24 46				
	iPPSE	25 30				
	eLN	43				
	M <sub>N</sub>	58 4	23			
	M <sub>E</sub>	59 8	22			
	W <sub>2</sub>	8 17	180			
	M[W <sub>2</sub> ]N	22 22	21			
	M[W <sub>2</sub> ]E	23 24	20			
	F	9.0				
» 26	e(S) <sub>E</sub>	20 26 23				
	e(PPS) <sub>E</sub>	28 7				
	eL <sub>E</sub>	45				
	M <sub>E</sub>	55 33	18			
	M <sub>N</sub>	21 0 28	14			
	F	21.4				
» 30	eP <sub>E</sub>	11 25 0				
	eLN	38				
	M <sub>N</sub>	43 36	10			
	M <sub>E</sub>	46 12	14			
	F	11.9				
Octobre 1	eE	12 8 25				
	eLN	30				
	F	13.0				
» 3	ePR <sub>1</sub>	19 34 9				Troublé par des mouvements microsismiques.
	ePR <sub>2E</sub>	37 0				
	eSePeS	39 21				
	i <sub>N</sub>	39 (54)				
	i(SePePeS) <sub>N</sub>	40 51				$\Delta = 14000$ km.
	ePS	44 26				
	iPPS	45 52				
	SR <sub>1</sub>	51 8				Épicentre aux îles Salomon.
	SR <sub>2</sub>	56 18				
	eL	20 8				
	M <sub>N</sub>	17 18	26			
						270

Date 1931	Phase	Heure (Greenwich)		Période T	Amplitude		Remarques
		A <sub>E</sub>	A <sub>N</sub>		μ	μ	
Octobre 3	M <sub>1E</sub>	21	10	26	250		
	M <sub>2N</sub>	22	2	27	270		
	M <sub>3N</sub>	25	59	18	120		
	M <sub>4E</sub>	31	24	21	172		
	F						Fin dans le suivant.
» 3	e <sub>E</sub>	22	59				
	M <sub>N</sub>	23	57	45	21		
	M <sub>E</sub>	0	0	52	21		
	F	1.3					
» 5	iP <sub>E</sub>	22	38	50			
	iPR <sub>1E</sub>	40	32				
	i <sub>E</sub>	41	31				
	iS <sub>E</sub>	44	46				
	i(PS) <sub>E</sub>	44	54				
	i <sub>E</sub>	48	6	7	(14)		
	M <sub>N</sub>	55	0	7			
	F	23.4					
» 10	e(P') <sub>E</sub>	0	39	5			
	ePR <sub>1N</sub>	40	27				
	ScPeS	45	55				
	ePS <sub>E</sub>	50	31				
	e(S <sub>E</sub> P <sub>E</sub> S <sub>P</sub> )	51	2				
	eSR <sub>1</sub>	57.5					
	eSR <sub>2</sub>	1	2.0				
	e <sub>E</sub>	12.0					
	eL	14					
	M <sub>E</sub>	36	2	21	207		
	M <sub>N</sub>	37	18	20	292		
	F	5.4					
» 10	e <sub>N</sub>	16	57	57			
	eL <sub>E</sub>	17	6				
	M <sub>1N</sub>	10	38	19			
	M <sub>E</sub>	10	45	14			
	M <sub>2N</sub>	12	5	13			
	F	18.0					
» 18	—	5	10-15				Quelques longues ondes sur la composante E-W.
» 20	eP	16	4	33			Troublé par des mouvements microsismiques.
	i		4	36			
	i(S) <sub>F</sub>	9	21	16.3			
							Δ = 3070 km.
» 24	—	3	14-17				Quelques faibles ondes sur la composante N-S.
» 26	e <sub>F</sub>	5	8				
		5.4					
» 28	eL <sub>N</sub>	6	19	47	16		
	M <sub>N</sub>	21					
	F	6.6					
				7			

## Observations séismographiques

Date 1931	Phase	Heure (Greenwich)		Période T	Amplitude		Remarques
		A <sub>E</sub>	A <sub>N</sub>		μ	μ	
Nov. 1	eSe	19	13	28			
	eLN		30				
	M <sub>N</sub>		34	53	21		
	M <sub>E</sub>		38	23	19	5	
	F		20.1				
» 2	e(P') <sub>E</sub>	0	45	(1)			
	ePR <sub>1</sub>		48	18			
	ScPeS		55	19			
	iS		55	41			
	eL	1	17				
	M <sub>E</sub>		27	19	17	4	
	F		1.8				
» 2	iP	10	14	31			
	PR <sub>1</sub>		17	15			
	PR <sub>2</sub>		19	(1)			
	iS <sub>N</sub>		24	(1)			
	iPS <sub>E</sub>		24	43			
	SR <sub>1N</sub>		28	30			
	SR <sub>1E</sub>		29	(1)			
	SR <sub>2</sub>		32	11			
	eL		38				
	M <sub>N</sub>		49	37	18		
	M <sub>E</sub>		49	57	16	149	184
	F		13.0				
» 2	e <sub>N</sub>	17	38	27			
	eL	18	0				
	M <sub>N</sub>	2	39	22			
	F	18.5					
» 3	eL	16	59				
	F	17.3					
» 4	eLN	18	31				
	F	18.8					
» 5	ePE	12	27	29			
	iP <sub>E</sub>		27	30			
	eSR <sub>1N</sub>		37	9			
	M <sub>N</sub>		45	34	8		
	M <sub>E</sub>		47	9	9	11	19
	F		13.3				
» 20	e(PS) <sub>N</sub>	14	47	17			
	e(PPS) <sub>N</sub>		48	23			
	eL	15	19				
	M <sub>N</sub>		26	27	24		
	M <sub>E</sub>		27	26	25	16	16
	F		16.0				
» 24	e <sub>N</sub>	9	34.0				
	M <sub>N</sub>		35	22	15		
	F	9.8					

Troublé par des mouvements microsismiques.

Δ = 4900 km.

Région épicentrale: Mongolie.